

浙江大学

本科实验报告

波导传输线负载测量与阻抗匹配

课程名称:	场波实验
姓名:	SZX
学院:	信息与电子工程学院
专业:	电子科学与技术
学号:	0000000000
指导老师:	王子立

June 25, 2023

目 录

一、实验目的	3
二、实验原理	3
三、实验仪器及元件	4
四、实验内容	5
1. 建立实验装置	5
2. 测量工作频率 f	6
3. 测量波导波长	6
4. 测量容性膜片等效负载	6
5. 测量阻抗匹配	7
五、实验数据测量	7
1. 测量工作频率 f	7
2. 测量波导波长 λ	8
3. 容性膜片等效负载测量	8
4. 阻抗匹配测量	9
六、根据实验数据的结果计算	9
1. 根据实测值计算波导波长 λ_g	9
2. 计算实测频率下矩形波导 TE_{10} 模的波导波长 λ_g 的理论值，并与实验测量值比较	9
3. 计算容性膜片 + 匹配负载时的驻波系数 ρ ，在 Smith 圆图上读出容性膜片 + 匹配负载的反射系数 Γ 和归一化阻抗值	10
4. 计算用单销钉调节匹配后的驻波系数	10
5. 量出单销钉调配器销钉到负载的长度，计算匹配状态时销钉所呈现的归一化电抗值。借用圆图说明此时系统为什么匹配	10
七、思考题	11
1. 测量线开口端不接短路块，任意接一负载，能否测出波导波长？接短路块测波导波长有什么优点？	11
2. 测负载驻波相位为什么要先测 d_{min} 短	11
3. 在单销钉调配器调配前，测量线探针为什么不能伸入到波导里面？	11
4. 单销钉调配器调节匹配时，为什么检波器输出指示越小，表示调配得越好？	11
5. 如果经销钉调配器调配后，测得驻波系数 $\rho = 1$ ，在单销钉调配器与负载之间是否是行波？单销钉调配器至信号源方向是否是行波？为什么？	11
八、总结与心得	11

一、 实验目的

1. 了解波导传输线的基本特性，容性膜片的负载特性及阻抗匹配方法。
2. 覆盖的基本概念：
 - <1> 波导的传输线模型
 - <2> 波导色散特性——波导波长
 - <3> 阻抗及匹配
 - <4> Smith 圆图
3. 掌握波导测量系统的工作原理和测试方法。
4. 学习射频微波测试方案和测试环境的建立。

二、 实验原理

纵向均匀的波导，如果将场分解成 TE 及 TM 两种模式，每种模式的场分解成横向场量与纵向场量，再将横向场量分解成模式函数与幅值的乘积，即 $\vec{E}_t = \vec{e}_{(\rho)} V(z)$, $\vec{H}_t = \vec{h}_{(\rho)} I(z)$ ，则 $V(z)$, $I(z)$ 满足传输线方程：

$$\begin{cases} \frac{dV(z)}{dz} = -jk_z Z I(z) \\ \frac{dI(z)}{dz} = -jk_z Y V(z) \end{cases} \quad (1)$$

式中， $k_z^2 = k^2 - k_t^2$, $k = \omega\sqrt{\mu\epsilon}$ ，且：

$$Z = \frac{1}{Y} = \begin{cases} \frac{\omega\mu}{k_z} & TE \\ \frac{k_z}{\omega\epsilon} & TM \end{cases} \quad (2)$$

$V(z)$ 、 $I(z)$ 反映电磁场横向分量 \vec{E}_t, \vec{H}_t 沿纵向 Z 的变化。所以就波的传播而言，波导中某一模式电磁波的传播可用一特定参数 (k_z, Z) 的传输线等效。

本实验应用矩形波导传输线，工作于 TE_{10} 模式，其横向场 \vec{E}_t, \vec{H}_t 沿纵向 Z 的传输特性可用 $(k_{z01}, Z_{(01)})$ 为特征参数的传输线上电压、电流的传输等效。

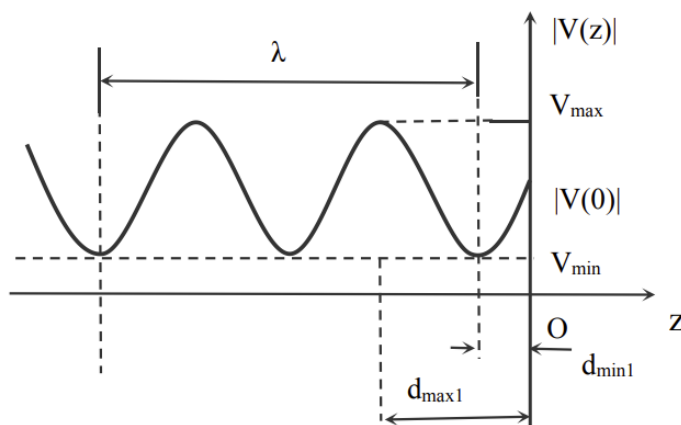


Figure 1: 传输线上电压沿线分布

传输线的状态可以用以下五组参数等价表示，即电压与电流、入射波与反射波、反射系数、阻抗或导纳、驻波系数与驻波相位。这五组参数互相之间可以变换最常用的是反射系数 Γ 在微波频率下它是一个便于测量的量值。使用驻波测量线 $(\rho, d_{min}/\lambda_g)$ 也是一组便于测量的量值。

图 1所示为电压沿传输线的分布状况，这种分布叫做驻波。

定义传输线上电压最大值与最小值之比为驻波系数 VSWR, 常用 ρ 表示。

离开终端负载第一个电压波节点的位置为 d_{min} ，如果用波长 λ 归一化， $\overline{d_{min}} = d_{min}/\lambda$ 。

如果波导末端短路（即传输线终端短路），则在传输线上形成纯驻波。驻波两最小点之间的距离为 $\lambda_g/2$ ，由此可测出波导波长 λ_g 。

波导中波的传播状态一般由波导终端口所接的负载确定，因此通过测量波导中波的传播状态便可得到其负载特性。

如果矩形波导（截面为 $a \times b$ ）插入一膜片，膜片上开槽，其截面为 $(a \times b')$ ， $b' \leq b$ ，则该膜片的等效阻抗呈电容性，叫做容性膜片。本实验用容性膜片 + 匹配负载作为容性被测负载。

传输线与负载匹配时，则传输线工作于行波状态（负载阻抗 Z_l 等于特征阻抗 $Z(0)$ ），此时传输线传输效率最高，传输功率容量也最大。传输线与负载不匹配时，一般在传输线与负载之间加一阻抗变换器来达到匹配，使传输线工作于行波状态。本实验使用可滑动的单销钉调配器，调节销钉的插入深度和横向位置使波导系统与负载（容性膜片 + 负载）达到匹配。

本实验涉及的公式：

$$\Gamma(0) = \frac{Z(0) - Z}{Z(0) + Z} = |\Gamma(0)|e^{j\Psi(0)} \quad (3)$$

$$Z(0) = Z \frac{1 + \Gamma(0)}{1 - \Gamma(0)} \quad (4)$$

$$\rho = \frac{V_{max}}{V_{min}} = \frac{1 + |\Gamma(0)|}{1 - |\Gamma(0)|} \quad (5)$$

$$\overline{d_{min}} = d_{min}/\lambda \quad (6)$$

$$d_{min} = \frac{\Psi(0)\lambda_g}{a\pi} + \frac{\lambda_g}{4} \quad (7)$$

$$\lambda_g = \frac{\lambda}{\sqrt{1 - (\frac{\lambda}{2a})^2}} \quad (8)$$

式中 a 为矩形波导宽边，本实验中 $a=2.286\text{cm}$, $b=11.016\text{cm}$ 。

三、 实验仪器及元件

名称	数量
固态微波信号源	1
隔离器	1
可调衰减器	1
波长计	1
定向耦合器	1
波导检波器	1
驻波测量线	1
容性膜片 + 匹配负载	1
短路块	1
数字万用表	1
示波器	1
屏蔽连接线	2

Table 1: 实验仪器及元件

四、 实验内容

1. 建立实验装置

把各部件连接成下图所示测量系统。注意十字孔定向耦合器的连接方向，在本系统中定向耦合器连接方向为对反射功率采样。（定向耦合器从主波导耦合到副波导的功率传输规律是：功率传输方向通过两个耦合孔的连线拐弯，见下图中标识）。实验开始前可调衰减器保持一定衰减量。驻波测量线探针插入深度为 0（驻波测量线结构示意图见下图）。驻波测量线输出电缆连接到高精度数字万用表输入口，万用表选择 AC 电压测量模式（测量检波信号的有效值）。波导检波器输出电缆接到示波器 CH1 输入口，并把示波器输入选择置于直流工作状态。

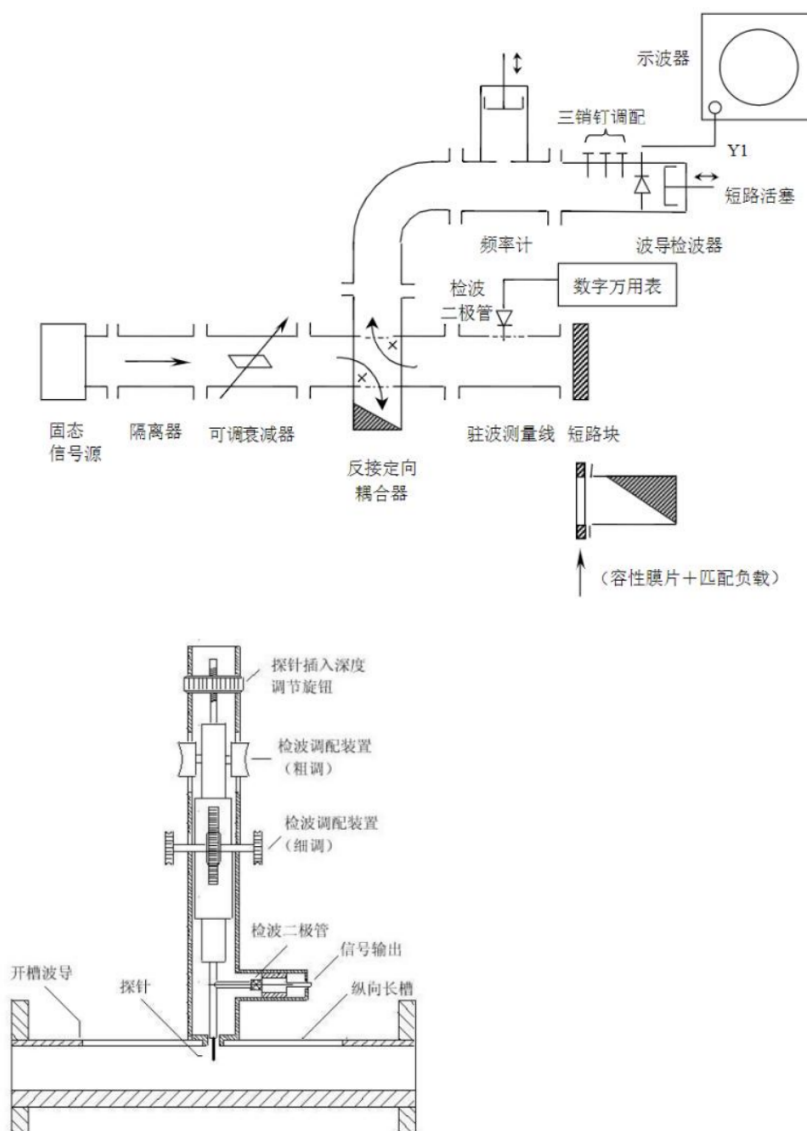


Figure 2: 实验设备

2. 测量工作频率 f

- (1) 测量线开口端用短路块短接。
- (2) 接通固态微波信号源，工作状态选择方波调制。
- (3) 调节波导检波器中的短路活塞或三销钉调配器使示波器上显示的检波输出（方波）幅度最大。如果示波器上显示的输出幅度还不够大，可适当减少可调衰减器的衰减量，反之增加可调衰减器的衰减量。（注意：由于微波频率高，波长短，故调节时必须如同调节显微镜一样细心，而且在用三销钉调节时，销钉插入深度不能超过波导高度 b 的一半，否则会产生全反射以至无信号检出。）
- (4) 用直读式频率计测量此时系统的工作频率 f 。（注意：调节时必须缓慢细调，由于频率计等效于电路中的一个并联谐振回路，当它产生谐振时，一部分能量被吸收，相应地串接在后面的检波器得到的能量就变小，于是示波器上看到的方波幅度也就变小，因而调节时注意观察示波器上的方波幅度，当看到幅度有突变，且变得最小时，频率计上读得的读数就是微波信号源的振荡频率，单位为 GHz。频率计的读法是：两条水平红线夹着的那一行刻度线与垂直红线相交的那一点的刻度数值）

3. 测量波导波长

- (1) 先调节测量线探针插入深度为 1mm 左右，再细心调节测量线上的检波调配装置，使数字万用表上指示的检波输出信号最大，即检波匹配（注意：为使测量线的检波二极管工作在小信号的平方率检波区，探针插入深度不能太深，否则探针本身会引起较大反射，使测量数值产生较大误差）。沿波导横向移动驻波测量探针，使探针位于驻波波腹点（检波的输出最大），此时再调节衰减器使数字万用表读数为 0.500mV（设定信号在合适的大小），记录此时衰减器的刻度，以便之后测量。
- (2) 慢慢地横向移动测量线探针，记下相邻两个驻波波节点的位置 d_{min1} 、 d_{min2} 的刻度值。

4. 测量容性膜片等效负载

- (1) 测量线开口端接短路块，横向移动测量线探针，找到一个驻波波节点位置 d_{min1} 短并作记录（即等效短路面位置）。
- (2) 拆下短路块，接上容性膜片 + 匹配负载，从 d_{min1} 短位置往振荡源信号方向移动驻波测量线探针位置，测得第一个驻波最小点位置 d_{min1} 膜片，并作记录。
- (3) 测量此时的驻波系数，即横向移动驻波测量线探针位置，在数字万用表上读出检波输出最大值 P_{max} 与最小值 P_{min} 注意：考虑到检波器为小信号平方率检波，故数字万用表读出的数值应为相对功率值）。

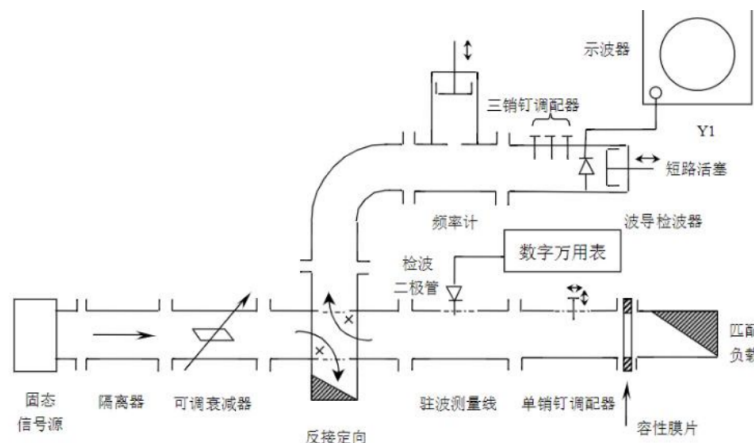


Figure 3: 容性膜片等效负载

5. 测量阻抗匹配

在测量线与容性膜片 + 匹配负载之间串接一只单销钉调配器。见下图。单销钉调配器是一个其销钉插入波导深度和纵向位置都可以调节的器件。

(1) 调节衰减器衰减量，使示波器有足够的方波信号显示。

(2) 细心调节销钉调配器销钉的横向位置和插入波导的深度，使示波器上显示的信号最小（最好能到零）。进而提高示波器的灵敏度和增加输入功率，重复上一调节过程直到当示波器的灵敏度为最高和输入功率为最大且又在示波器上观察到的信号为最小为止，即找到最佳匹配位置。

(3) 适当增加可调衰减器的衰减量之后，横向移动驻波测量线，记录该输入功率下数字万用表上的 P_{max} 匹配和 P_{min} 匹配。并计算此时的驻波系数 ρ 。

五、 实验数据测量

1. 测量工作频率 f

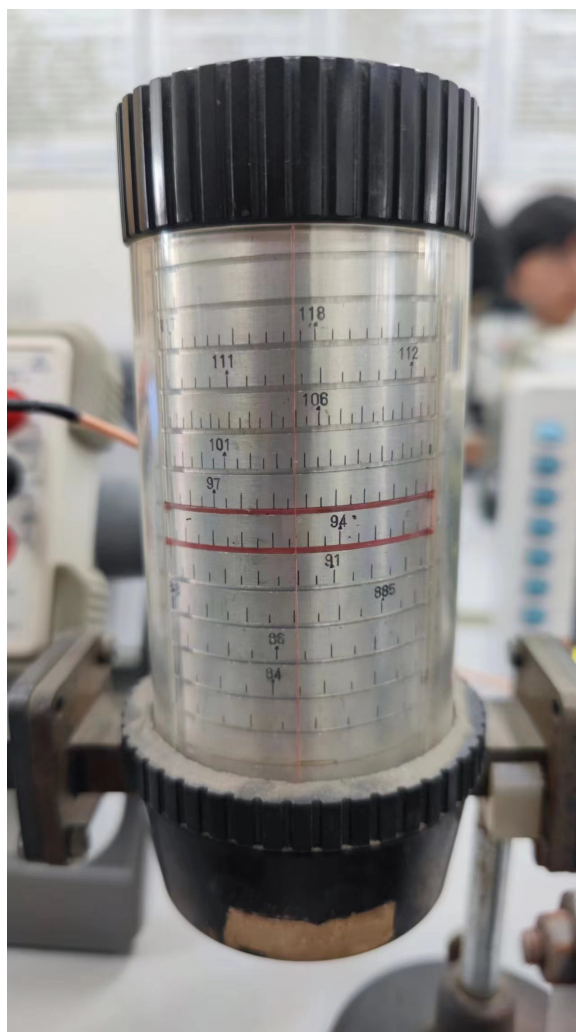


Figure 4: 工作频率

从图 4 中，可以看出其工作频率为 9.386GHz。

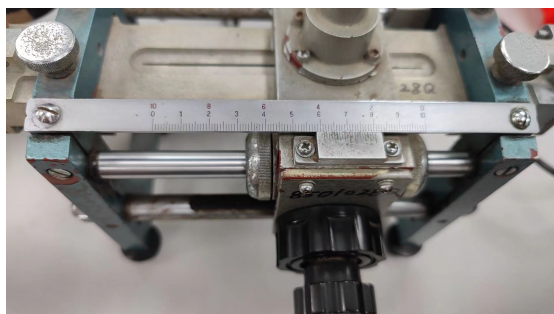
2. 测量波导波长 λ 

Figure 5: 波长测量结点 1

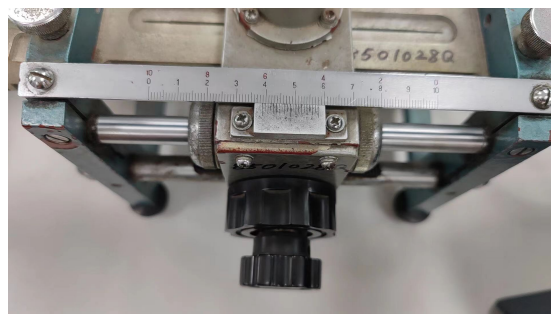


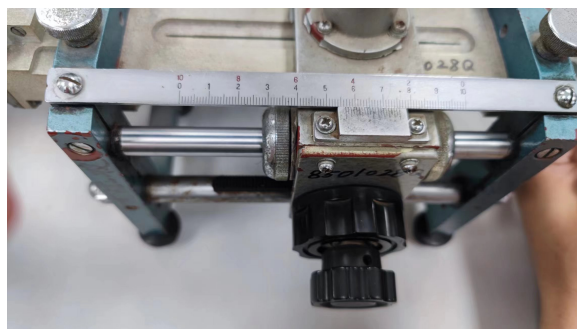
Figure 6: 波长测量结点 2

由图 5、6可知：

$$d_{min1} = 6.110cm \quad (9)$$

$$d_{min2} = 3.890cm \quad (10)$$

3. 容性膜片等效负载测量

Figure 7: 容性阻抗 d_{min1}

图中 7所示，是接入容性阻抗和匹配负载后的结点位置， $d_{min} = 5.670cm$ 。

Figure 8: 容抗 p_{max} Figure 9: 容抗 p_{min}

图 10和 11所示，是相应位置检波输出测量值：

$$p_{max} = 7.734mV \quad (11)$$

$$p_{min} = 2.145mV \quad (12)$$

4. 阻抗匹配测量



Figure 10: 阻抗 p_{max}



Figure 11: 阻抗 p_{min}

如图 10、11所示，可以得到数字万用表的测量值：

$$p_{max} = 3.715mV \quad (13)$$

$$p_{min} = 1.137mV \quad (14)$$

六、 根据实验数据的结果计算

1. 根据实测值计算波导波长 λ_g

由实验测得：

$$d_{min1} = 6.110cm \quad (15)$$

$$d_{min2} = 3.890cm \quad (16)$$

则可得波长：

$$\lambda_g = 2(d_{min1} - d_{min2}) = 4.440cm \quad (17)$$

2. 计算实测频率下矩形波导 TE_{10} 模的波导波长 λ_g 的理论值，并与实验测量值比较

由于测得工作频率为： $f = 9.386GHz$ ，则波长为：

$$\lambda = \frac{c}{f} = 3.196cm \quad (18)$$

$$\lambda'_g = \frac{\lambda}{\sqrt{1 - (\frac{\lambda}{2a})^2}} = 3.853cm \quad (19)$$

所以，相对误差为：

$$E = \frac{|\lambda'_g - \lambda_g|}{|\lambda'_g|} = 15.2\% \quad (20)$$

3. 计算容性膜片 + 匹配负载时的驻波系数 ρ ，在 Smith 圆图上读出容性膜片 + 匹配负载的反射系数 Γ 和归一化阻抗值

根据实验测量结果，可以计算得到：

$$\rho = \sqrt{\frac{p_{max}}{p_{min}}} = 1.899 \quad (21)$$

$$|\Gamma| = \frac{\rho - 1}{\rho + 1} = 0.310 \quad (22)$$

$$\Delta d = 6.110 - 5.650 = 0.460 \text{ cm} \quad (23)$$

从而得到：

$$\phi(0) = \frac{4\pi\Delta d}{\lambda_g} = 1.301 \quad (24)$$

$$\Gamma = 0.310e^{-j1.301} = 0.083 - j0.299 \quad (25)$$

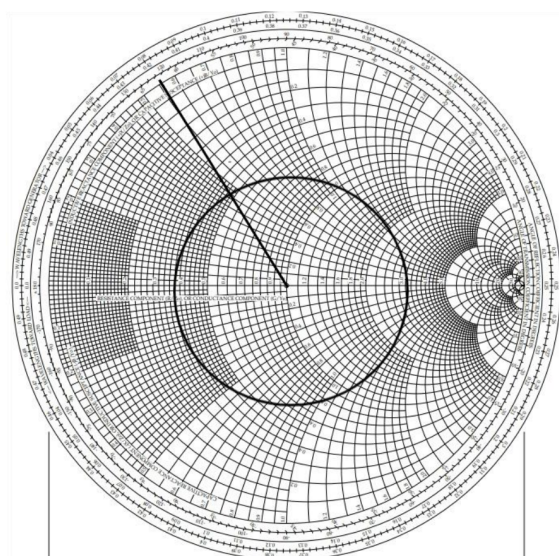


Figure 12: Smith 图

最终，通过 Smith 图 (如图 12所示)，得到归一化阻抗为：

$$z = 0.15 - j0.72 \quad (26)$$

4. 计算用单销钉调节匹配后的驻波系数

通过实验数据，可以计算：

$$\rho = \sqrt{\frac{p_{max}}{p_{min}}} = 1.807 \quad (27)$$

5. 量出单销钉调配器销钉到负载的长度，计算匹配状态时销钉所呈现的归一化电抗值。借用圆图说明此时系统为什么匹配

测量得到的长度为 7cm，通过 Smith 圆得到的归一化的电抗值约为 $1-j0.2$ ，在图中为 Γ 和单位圆的交点，所以匹配。

七、 思考题

1. 测量线开口端不接短路块，任意接一负载，能否测出波导波长？接短路块测波导波长有什么优点？

能够测出波导波长。理论上，通过 smith 原图变换，可以由任意负载推导出波导波长。用短路块是因为在短路块处产生全反射，形成纯驻波，现象比较明显，测量更加准确，误差较小。

2. 测负载驻波相位为什么要先测 d_{min} 短

驻波相位为驻波最小点和短路点间相位差，因此要测量短路点位置和驻波最小点的差值，也就是 d_{min} ，

3. 在单销钉调配器调配前，测量线探针为什么不能伸入到波导里面？

测量线探针为金属，如果深入到波导里面，会引起较大的反射，改变内部场的分布，对匹配结果造成较大的干扰，产生误差。

4. 单销钉调配器调节匹配时，为什么检波器输出指示越小，表示调配得越好？

检波器为小信号平方率检波，测量交变小信号。检波器输出指示越小，表示反射波越小，调配器与负载之间的波更接近行波，表示匹配情况更好。

5. 如果经销钉调配器调配后，测得驻波系数 $\rho = 1$ ，在单销钉调配器与负载之间是否是行波？单销钉调配器至信号源方向是否是行波？为什么？

单销钉调配器与负载之间不是行波，因为匹配器到阻抗之间并没有实现阻抗匹配，电路之间反射系数不为 0，是驻波。而单销钉调配器至信号源方向是行波，因为阻抗匹配，反射系数为 0，无反射波，是行波。

八、 总结与心得

通过本次实验，我对于波导匹配的各项测量方法有了初步的认识，进一步巩固了我在理论课上的所学。同时，我也对 Smith 图的使用更加熟练，对其原理和使用方法有了更好的认识，收获颇丰。